

# Tafeln

Autor(en): **[s.n.]**

Objektyp: **Appendix**

Zeitschrift: **Eclogae Geologicae Helvetiae**

Band (Jahr): **28 (1935)**

PDF erstellt am: **26.09.2024**

## **Nutzungsbedingungen**

Die ETH-Bibliothek ist Anbieterin der digitalisierten Zeitschriften. Sie besitzt keine Urheberrechte an den Inhalten der Zeitschriften. Die Rechte liegen in der Regel bei den Herausgebern.

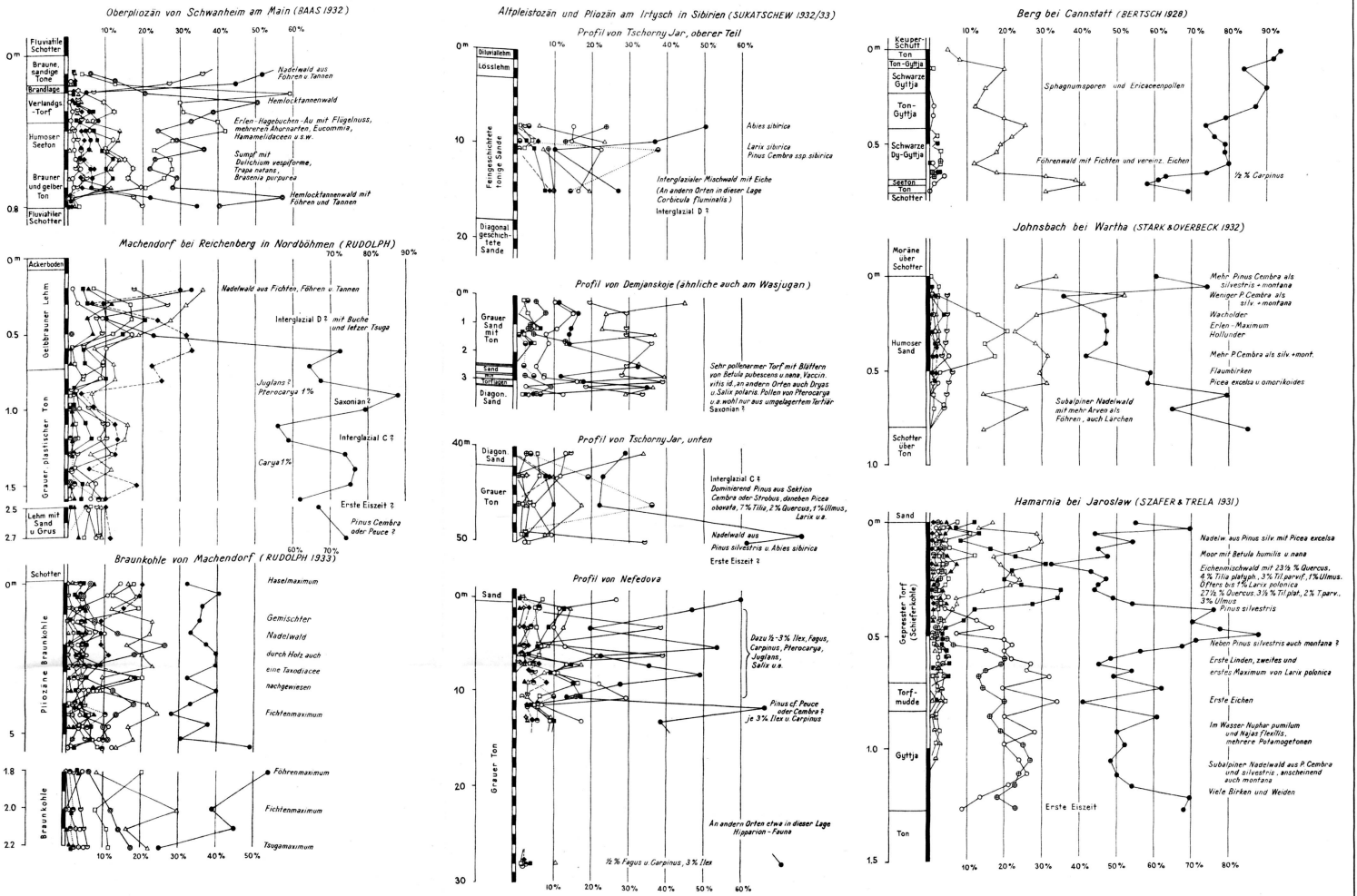
Die auf der Plattform e-periodica veröffentlichten Dokumente stehen für nicht-kommerzielle Zwecke in Lehre und Forschung sowie für die private Nutzung frei zur Verfügung. Einzelne Dateien oder Ausdrucke aus diesem Angebot können zusammen mit diesen Nutzungsbedingungen und den korrekten Herkunftsbezeichnungen weitergegeben werden.

Das Veröffentlichen von Bildern in Print- und Online-Publikationen ist nur mit vorheriger Genehmigung der Rechteinhaber erlaubt. Die systematische Speicherung von Teilen des elektronischen Angebots auf anderen Servern bedarf ebenfalls des schriftlichen Einverständnisses der Rechteinhaber.

## **Haftungsausschluss**

Alle Angaben erfolgen ohne Gewähr für Vollständigkeit oder Richtigkeit. Es wird keine Haftung übernommen für Schäden durch die Verwendung von Informationen aus diesem Online-Angebot oder durch das Fehlen von Informationen. Dies gilt auch für Inhalte Dritter, die über dieses Angebot zugänglich sind.

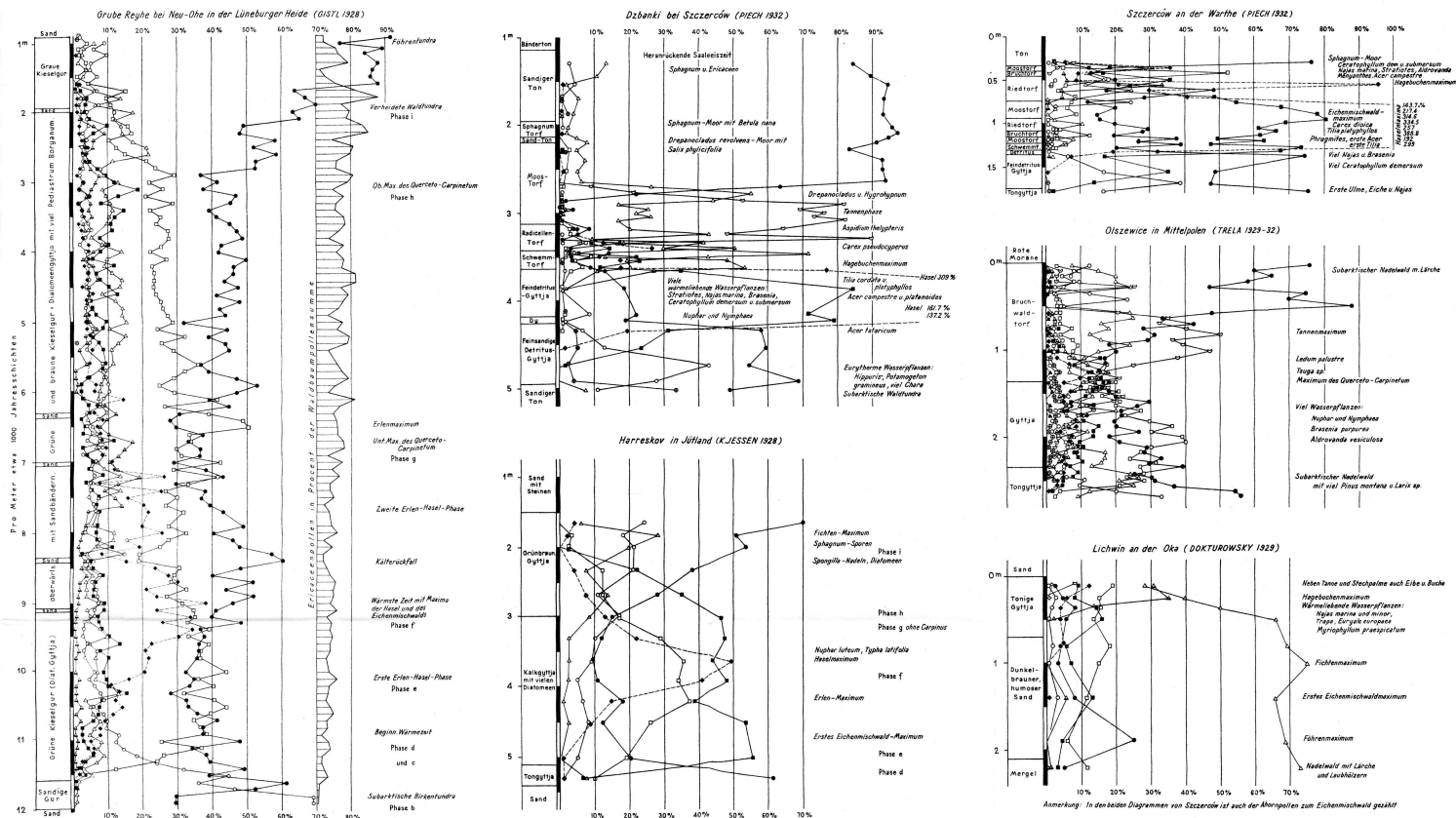
Pollendiagramme pliozäner und altpleistozäner Profile



Legende zu den Tafeln I-IV  
 Pollensignaturen

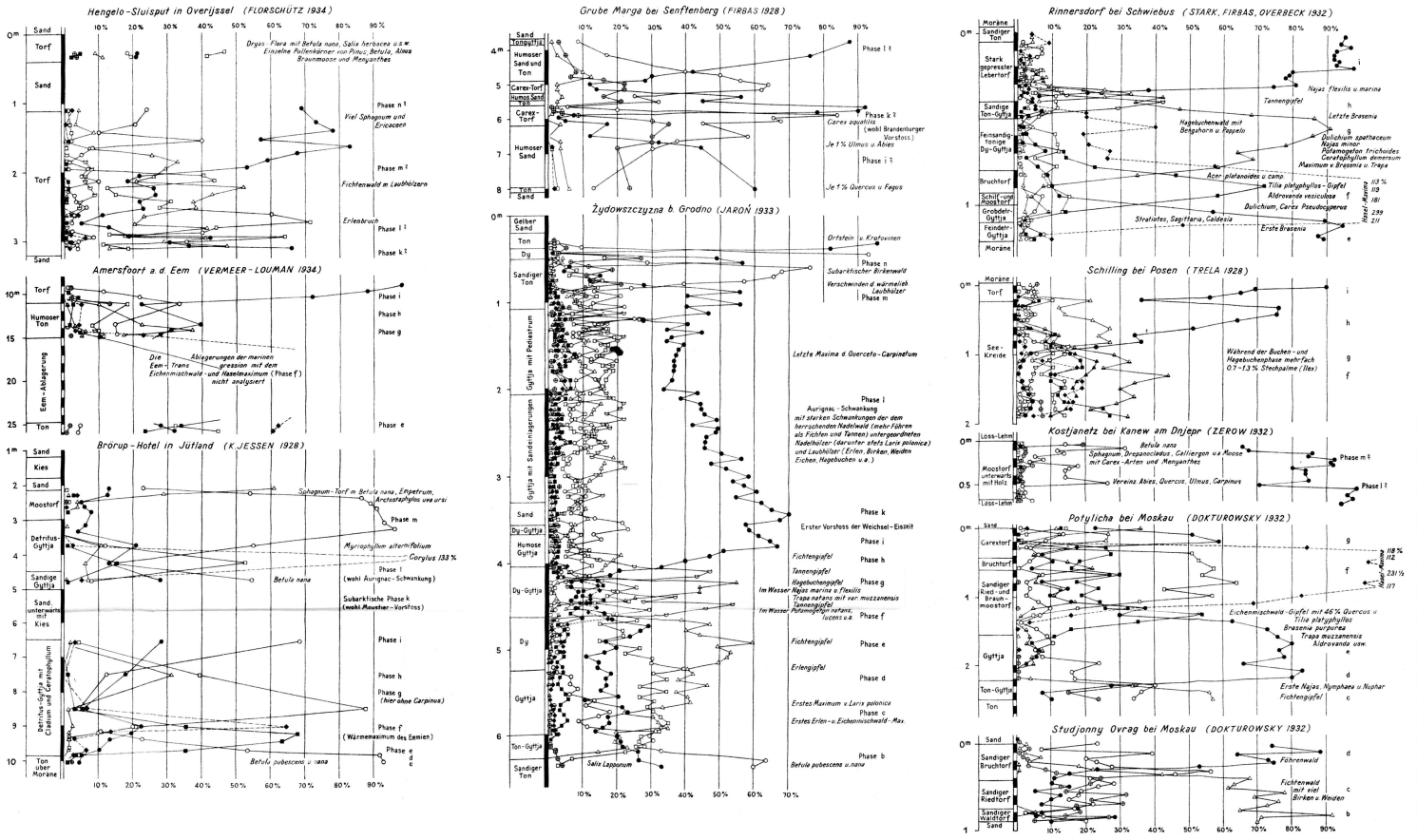
- *Pinus* (Föhren im Allgemeinen)
- *Larix* (Lärchen)
- *Tsuga* (Hemlocktanne)
- *Alnus* (Erlen)
- *Pterocarya + Carya* (Hickory)
- Eichenmischwald (= *Quercus* + *Tilia* + *Ulmus*)
- *Pinus cf. Peuce* u. *Strobos*
- *Picea* (Fichten)
- *Salix* (Weiden)
- *Corylus* (Hasel)
- *Fagus* (Buchen)
- *Abies* (Weisstannen)
- *Betula* (Birken)
- *Pterocarya* (Flügelnuß)
- *Carpinus* (Hagebuche)
- *Ilex* (Stechpalme)

Pollendiagramme von Profilen des D-Interglazials



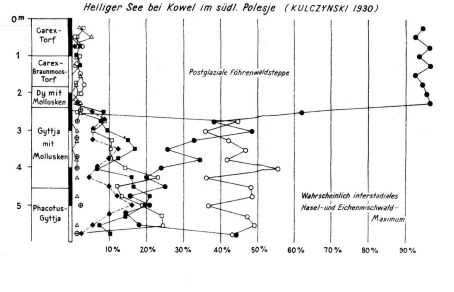
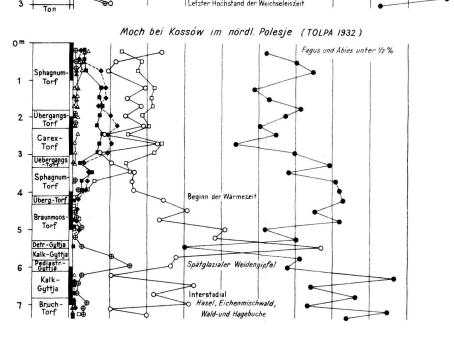
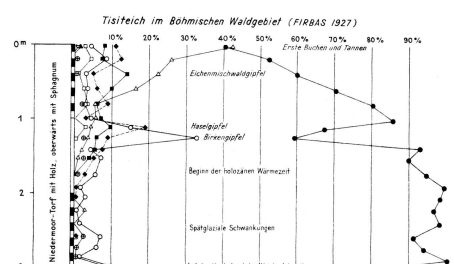
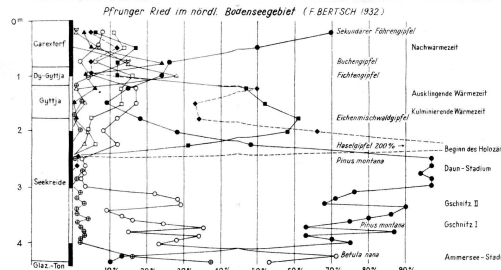
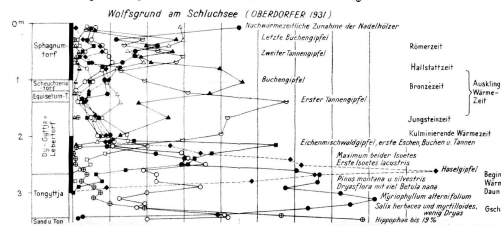
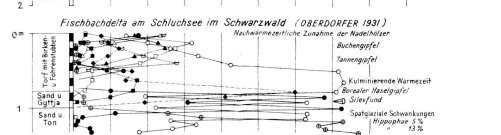
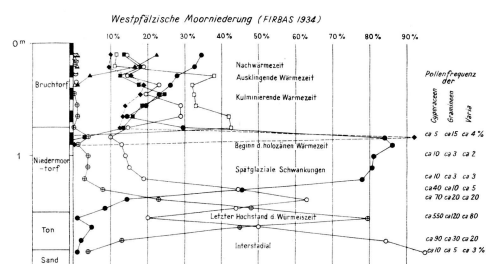
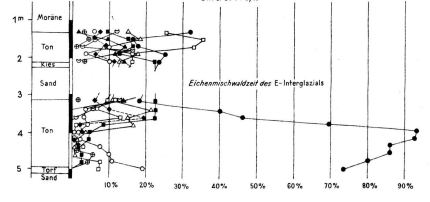
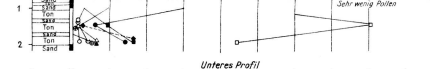
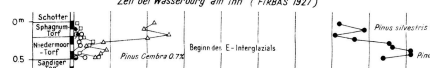
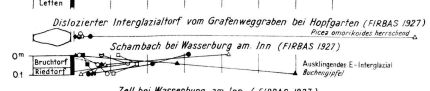
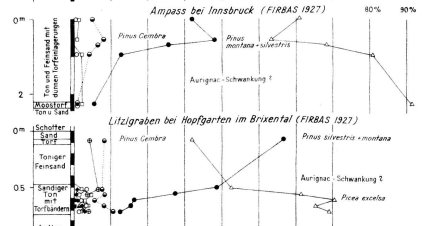
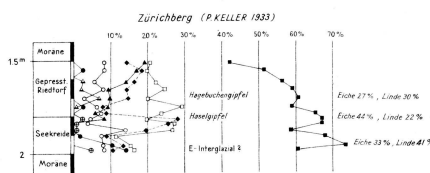
Legende siehe Tafel I.

Pollendiagramme von Profilen des E-Interglazials und der Aurignac-Schwankung



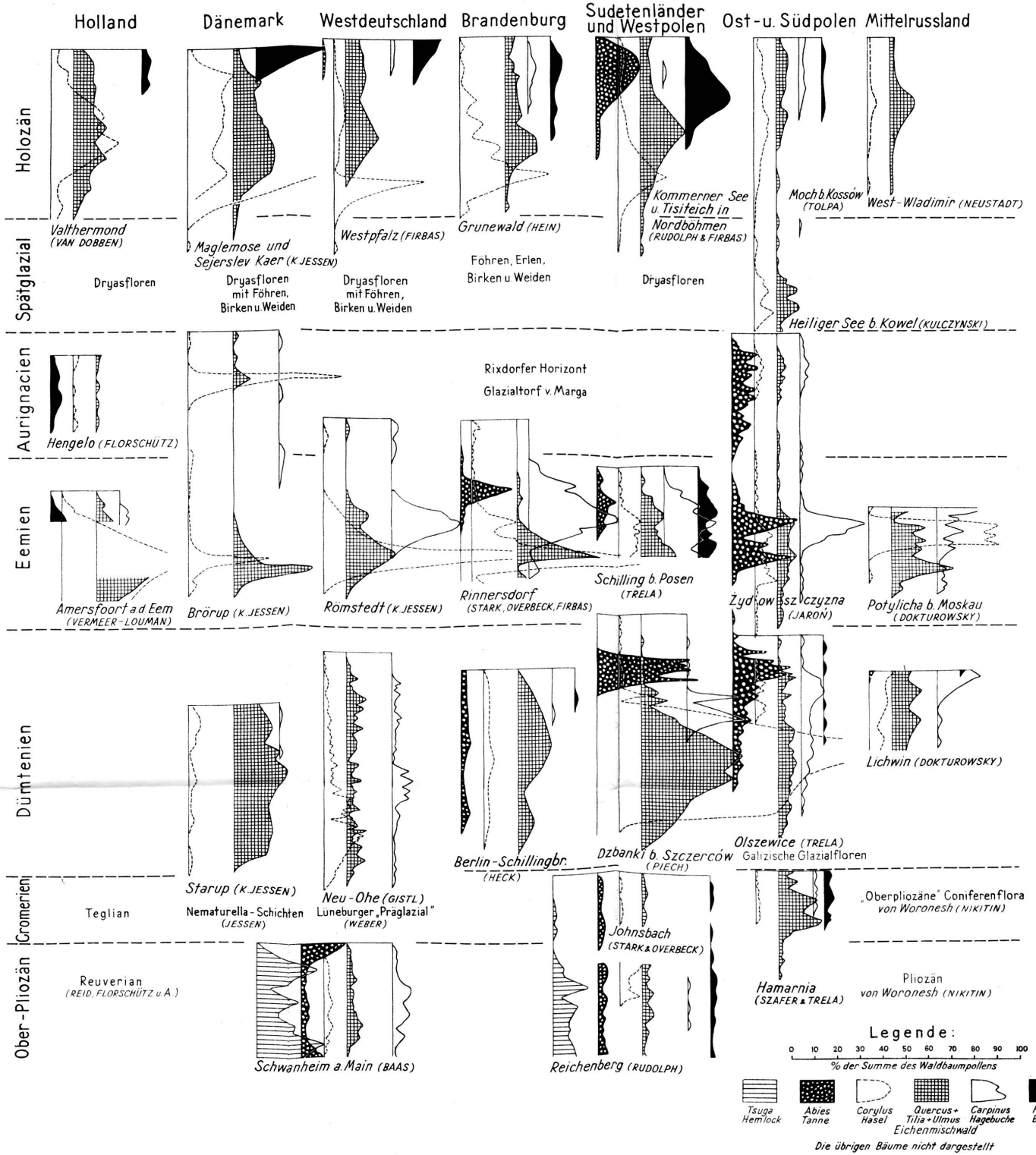
Legende siehe Tafel I.

### Pollendiagramme aus dem alpinen Pleistozän und dem ausseralpinen Jung-Pleistozän & Holozän

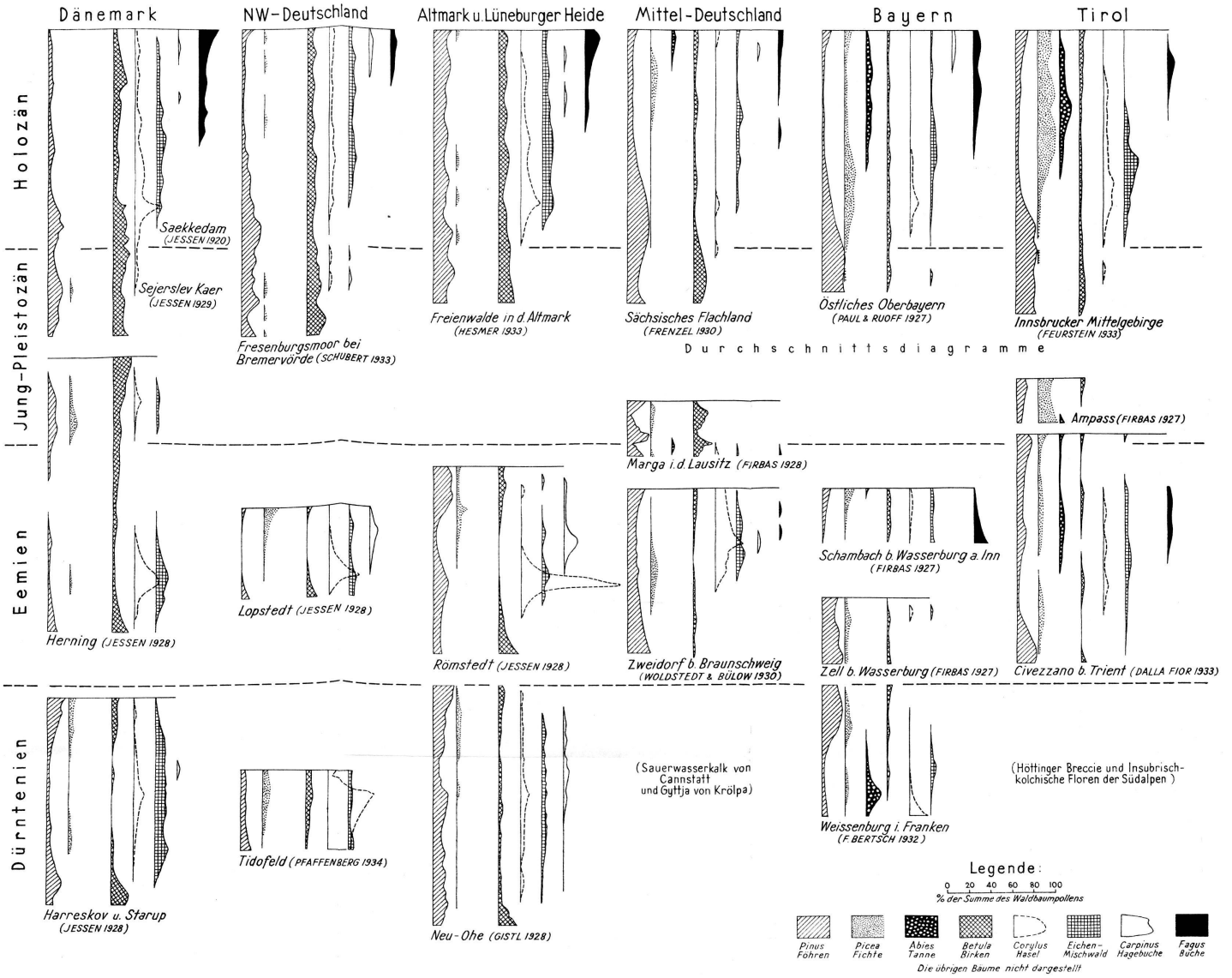


Legende siehe Tafel I.

West-Ost-Reihe zerlegter Pollendiagramme



Nord-Süd-Reihe zerlegter Pollendiagramme



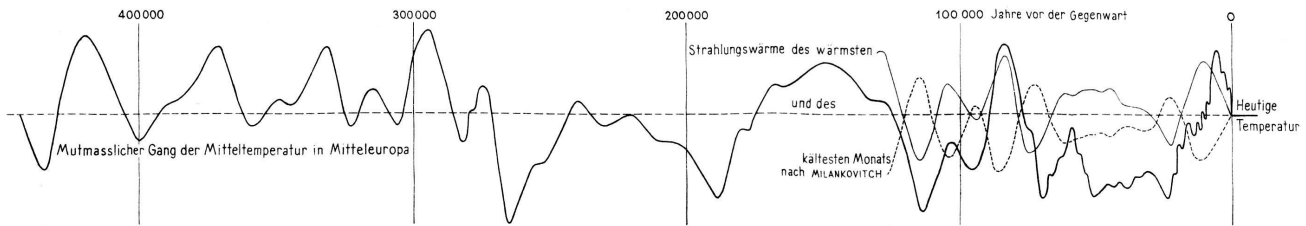
Legende:

0 20 40 60 80 100  
% der Summe des Waldbaumpollens

- Pinus Föhren
- Picea Fichte
- Abies Tanne
- Betula Birken
- Corylus Hasel
- Eichen-Mischwald
- Carpinus Hagebeche
- Fagus Buche

Die übrigen Bäume nicht dargestellt

### Synchronistische Übersicht



Ober-Pliozän      Alt-Pleistozän      Mittel-Pleistozän      Jung-Pleistozän      Holozän

Plaisancien Astien Cromerien Dürntenien Eemien Aurignac-Schwankung Schlussvereis Postglazial

=Reuverian      incl Villafranchiano      =Norfolkan =Teiglian? =Sandomirien      =Tyrolian =Masovien I      =II Nordd. Intergl. =Masovien II      Dani-, Gotl- u. Finiglazial n. de GEEK

Letzte Deckenschotter-Eiszeit

	Icenian =Elster I =Jaroslavian	Saxonian =Elster II =Cracovien	Polonian =Saale =Varsovien I	Weichsel-Eiszeit = Vistulian =Warthe-Vorstoss =Mouster-, Frankfurt-, Mecklenburg-, Brandenb.-Posener-, Pommerische Vorstoss Stadium =Stadien
Nordeuropa	Jüngere Braunkohlen Wetterau, Frankfurter Klärbecken Reuver, Brunsum u.s.w.	Forestbed Tegelen? Mösbach Maur	Holsteinsee Paludineschichten Lüneburger Kieselgur Cannstatter Sauerwasseralk	Eem-Meer Weimarer Tuffe Rabutz, Brörup u.s.w.
Alpen	A b t r a g u n g	Hochterrasse eiszeiten Ältere Güntenstall =Mündel I (PENCK + EBEL) =Kander (ECK) Wiener Laaerberg-u. Arsenalschotter	Jüngere Meiste Schieferkohlen =Mündel II (PENCK + EBEL) =Glötsch (BECK) Höttinger Breccie	Neo-Riss I Würm- =Grösste Eiszeit Vorstoss Jungmoränen Terrassenschotter Schieferkohlen =Inntal Tuffe v. Furlingen u. Scheibis Alpin-Paläolithikum =Kilwangen- =Niederweningen Schlieren Zürich-Singen Amersee etc. (Bühl S. II) =Allerod-Schwab- =Salpausiedlung =Anchylus-See =Litorina-Meer =Rigo-Meer
Südmeere	Plaisancien Kimmer Babadshan	Calabriem Tschouda Apscheron	Sicilien Baku Baku	Milazzien Alteuxin Singil
Mittelmeer: Pontus- Kaspi:				Tyrrhënien Karangat-u. Usnlar-Meer Chosar Atel

#### Zeitliche Verbreitung einiger Leitfossilien in Europa:

Bäume und Sträucher	<i>Tsuga cf. diversifolia</i> u. <i>canadensis</i>	<i>Picea amonikoides</i>	<i>Acer tafaricum</i>	<i>Rhododendron ponticum</i>
Sumpf- und Wasserpflanzen	<i>Euryale ferox</i> mit var. <i>europaea</i>	<i>Brasenia purpurea</i>	<i>Dulichium vesiforme</i>	<i>Dulichium spathaceum</i>
Süßwasser-Mollusken	<i>Corbicula fluminalis</i>	<i>Belgrandia (Paludestria) marginata</i>	<i>Vivipara (Paludine) diluviana</i>	<i>B. (P.) m. var. germanica</i>
Elefanten	<i>Elephas meridionalis</i>	<i>Elephas antiquus</i>	<i>Elephas trogontherii</i>	<i>Elephas primigenius</i>
Nashörner	<i>Rhinoceros etruscus</i>	<i>Rhinoceros Merckii</i>	<i>Rhinoceros antiquitatis (= tichorhinus)</i>	
Nagetiere	<i>Trogontherium Cuvieri</i>			
Mensch	<i>Pithecanthropus</i> Eolithikum	<i>Homo heidelbergensis</i> Prae-Chelliën	<i>neanderthalensis</i> Acheuléen	<i>aurignacensis</i> Prae-Mousterien <i>Cro Magnon</i> u. a. Magdalënen Solutrëen Mesolithikum Neolithikum



# Stratigraphical Chart of Central & East Falcon

compiled by A. Senn 1934

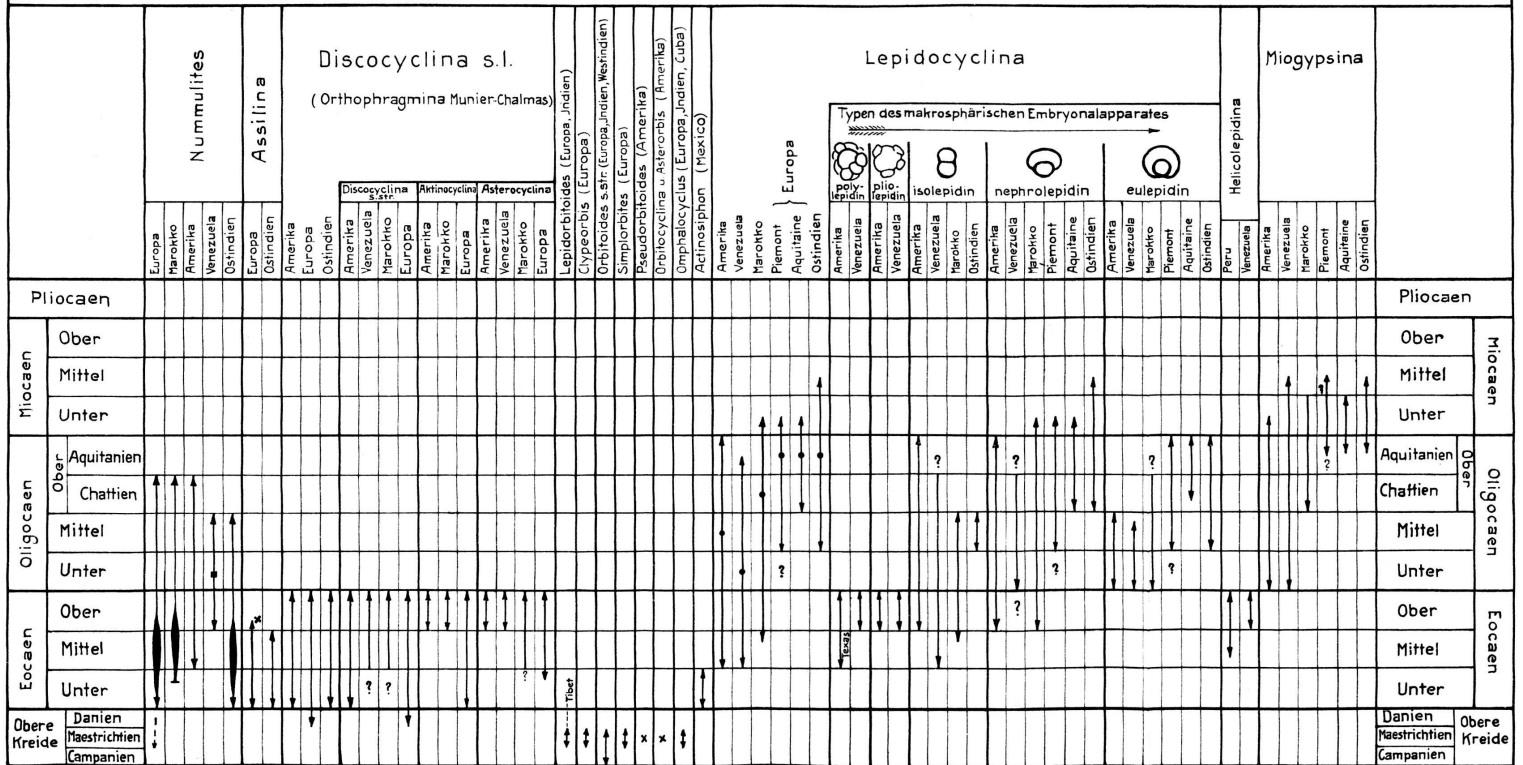
Quaternary		Generalised Section of Central Falcon (older Eocene of Maracaibo Lake)		Generalised Section of East Falcon (Pleistocene of LaGuaira)		Mollusk faunas	Larger Foraminifera											Quaternary				
							Discocyclina	Asterocyclina	Lepidocyclina				Helicolepidina	Miogypsina	Dicycloconus	Nummulites	Heterostegina			Spiroclypeus	Amphistegina	Pellatispira
									polyplepidin	isolepidin	nephrolepidin	eulepidin										
Holocene	Pleistocene				Caboblanco beds	Ia												Holocene	Pleistocene			
Pliocene		Upper Cadore - formation		Punta Gavilan - formation		II												Pliocene				
Tertiary	Miocene	Upper	La Vela - formation (incl. Coroconglomerate)		A1 c - Clays (+ Aguasalada - Clays, zone A1 c)		IIIa	A1 c										Upper	Miocene			
		Middle (Gatun-stage)	Damsite - formation		Capadare limestone A1 a - Intermediate beds Clays Miogypsina limestone		IIIb	A1 a										Middle (Gatun-stage)				
		Lower	Socorro Formation	Socorro sands Querales shales	A2 - Clays Bachacal sands A3 - Clays		IVa IVb	A2 A3										Lower				
	Oligocene	Upper	Cerro Pelado sands		Curamichate sands		Va	A3-A4										Upper	Oligocene			
			marine zone Aguaclara shales		A4 - Clays El Mene sandformation		Vb	A4														
		Middle (SanLuis-stage)	San Luis limestone s.str. Pecaya shales S.J.Vega s.		San Luis limestone of Aguailinda region		VIa	San Luis Pedregal										Middle (SanLuis-stage)				
		Lower	Aguanegra formation	Churuguara beds Jarillal - shales Raetomya - shales	Churuguara - beds & Tacamire - sandstone Tacamire shales & Guayaval marls		VIb	San Luis s.str.										Lower				
	Eocene	Upper	Sta Rita stage	Menegrande beds		Cerro Campana beds		VII	Guayaval s.str.									Sta Rita stage	Eocene			
		San Pedro stage	Pauji shales		Cerro Mision shales			Pauji										San Pedro stage				
		Middle	Upper Misoa Trujillo formation		not exposed		?	?										Middle				
Lower		Lower Misoa Trujillo formation		not exposed			?										Lower					
Upper Cretaceous		Colon shales		not exposed		Vpl.	Upper Cretaceous fauna										Upper Cretaceous					

Abbreviations : V.pl = Venericardia planicosta ; S.J.Vega s. = San Juan de la Vega sandstone ; lste = limestone ; congl. = conglomerate

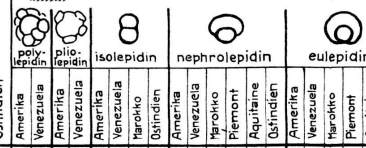
## Stratigraphische Übersicht von Central- und Ost-Falcón (Venezuela)

# Vertikale Verbreitung der Nummuliten und Orbitoiden

nach der Literatur und eigenen Beobachtungen zusammengestellt  
von A. Senn 1934



Typen des makrosphärischen Embryonalapparates



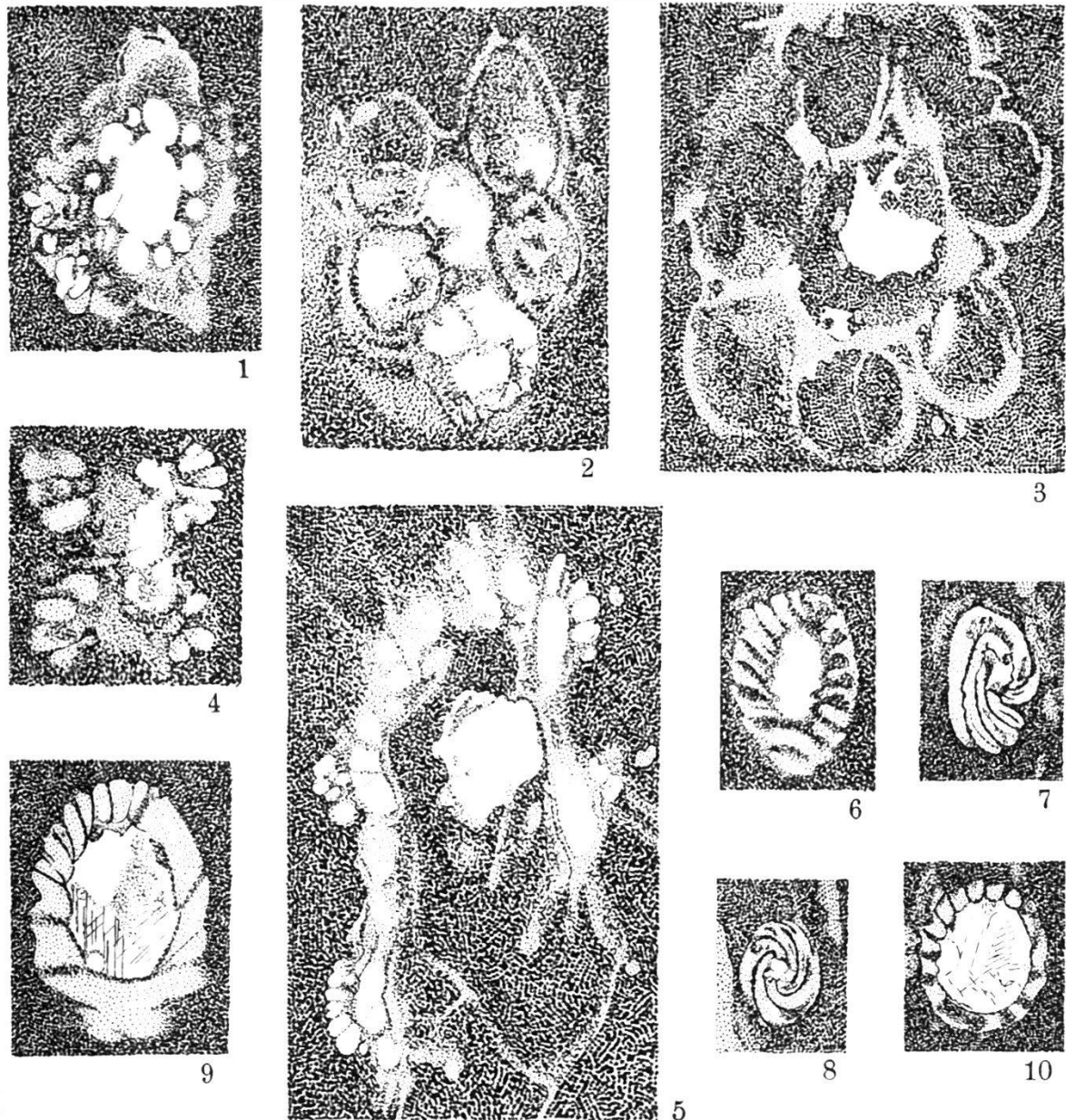


Fig. 1: Querschnitt durch den dünnern Teil der Nodialspindel eines *Clavator*-Stengels aus dem Purbeck des Schächentals. 40 : 1. BRÜCKNER Nr. 843 b/5. 12 abwechselnd dickere und dünnere Rindenschläuche, Spuren von Ausstülpungen.

Fig. 2 und 3: Querschnitte durch Nodialspindeln von *Clavator*-Stengeln aus dem Purbeck des Schächentals. 40 : 1. BRÜCKNER Nr. 404 d/1 und 404β. Man erkennt die verdickten Rindenschläuche.

Fig. 4: Wahrscheinlich Bruchstück eines unberindeten Zweiges von *Clavator* aus dem Purbeck des Schächentals. 40 : 1. BRÜCKNER Nr. 404 d/1. Bündel von Ausstülpungen.

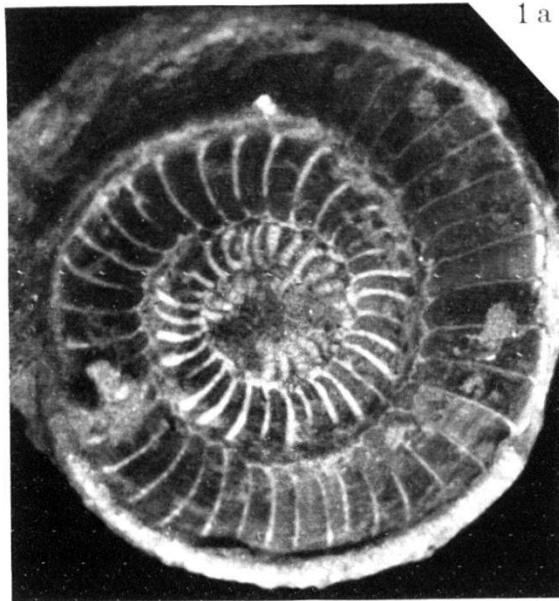
Fig. 5: Schräger Querschnitt durch einen aufgerissenen Stengel von *Clavator* aus dem Purbeck des Schächentals. 40 : 1. BRÜCKNER Nr. 843 b/5. Über den Rindenschläuchen sehr deutliche Bündel von Ausstülpungen.

Fig. 6—10: Verschiedene Schnitte durch Früchte von Charophyten aus dem Purbeck des Schächentals, wahrscheinlich zu drei Arten gehörig. 40 : 1. BRÜCKNER Nr. 404 d/1, 404 c/1 (die zwei Schnitte nächst der Spitze der Früchte, mit den deutlich spiralen Schläuchen), 843 b/1, 843 b/4.

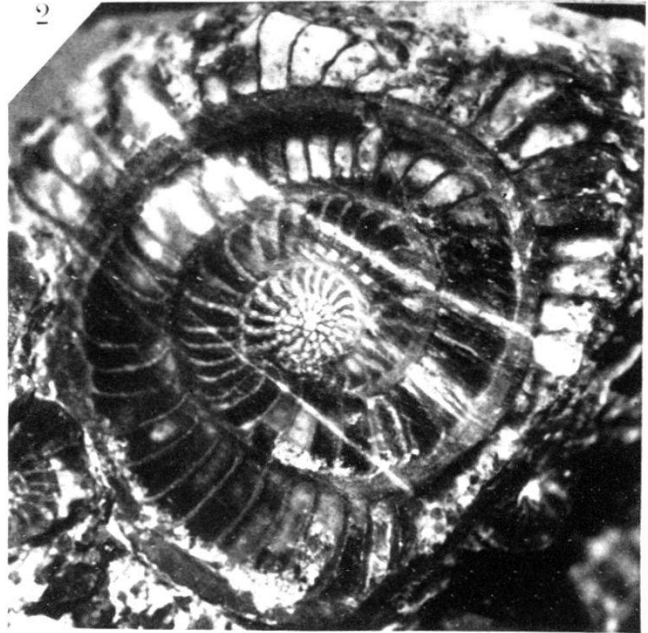
## Legende zu Tafel XI:

### *Assilina praespira* DOUVILLÉ.

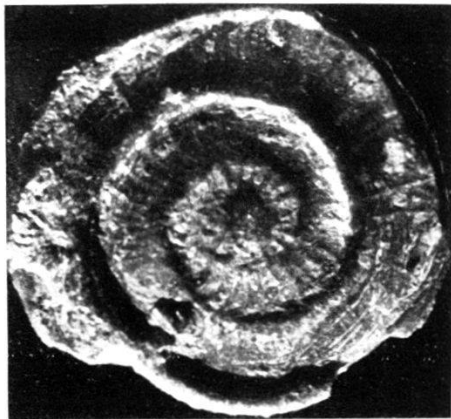
- Fig. 1: Ansicht der Schalenoberfläche. Der Spiralstrang des äussersten Umganges ist z. T. weggebrochen. Exemplar 1. Vergr.  $3\times$ .
- Fig. 1a: Dasselbe bei Anwendung eines Einbettungsmittels. Vergr.  $4,2\times$
- Fig. 2: Ansicht der Schalenoberfläche bei Einbettung. Exemplar 2. Vergr.  $4,2\times$ .
- Fig. 3: Medianer Anschliff von Exemplar 1. Vergr.  $6\times$ .
- Fig. 4: Anschliffbild der Polgend. Siehe die dichte Kalksubstanz über den Septen und in der Lateralwand zwischen den Septen. Vergr.  $9,7\times$ .
-



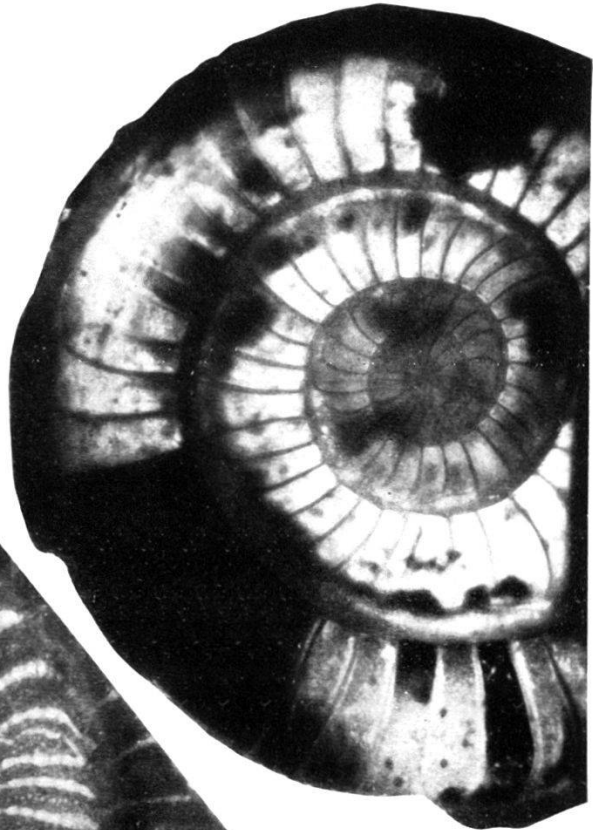
1 a



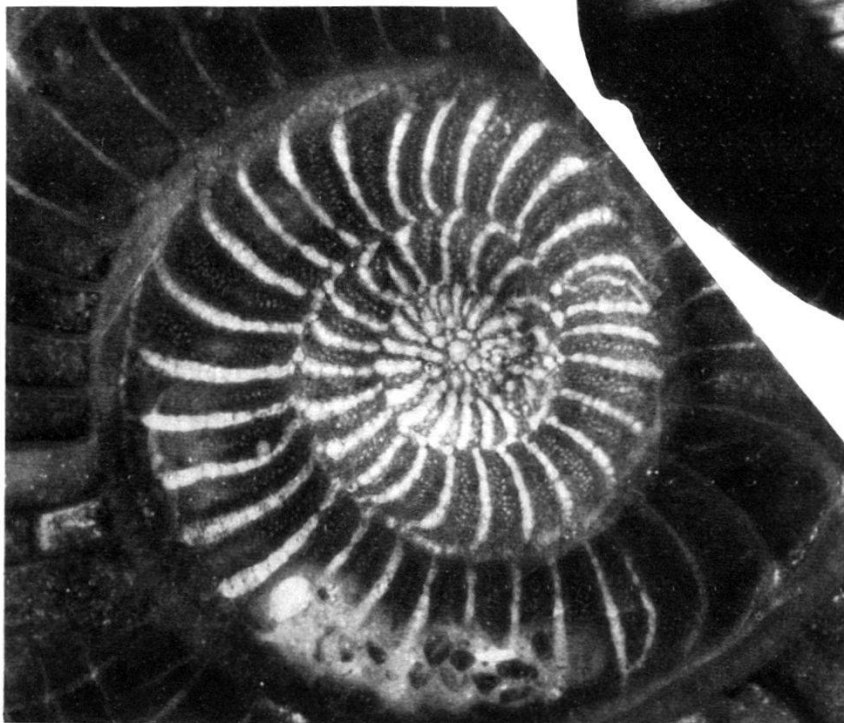
2



1



3



4

### Profile durch die Mytilus-Schichten im östlichen Teil der Préalpes romandes

Maßstab 1:2000

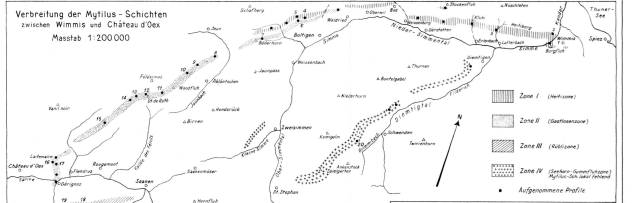
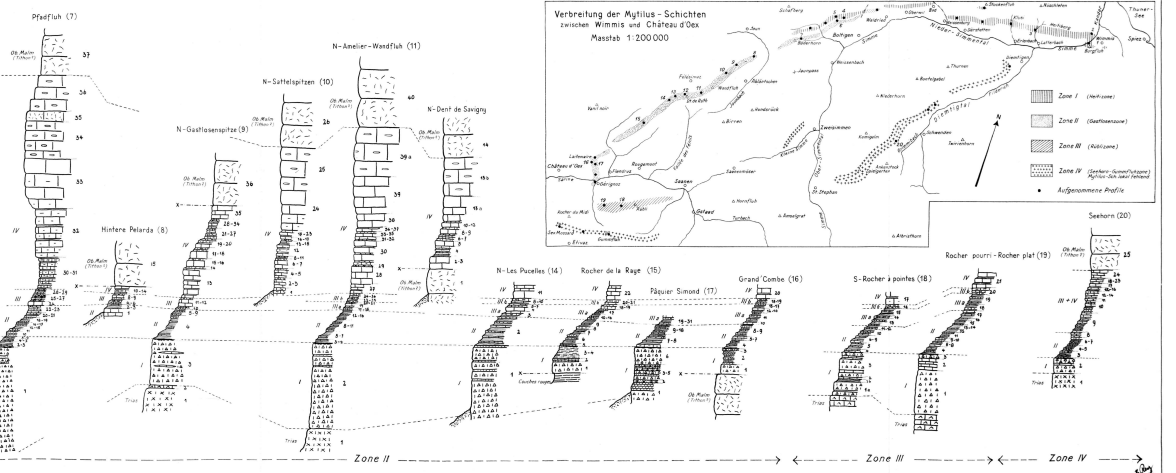
Lithologische Legende

	Kalkstein		Quarzite
	Sandsteine mit Gipsen		Sandstein
	Sandstein mit Gipsen		Mergelstein
	Sandstein mit Gipsen		Kalkmergelstein
	Sandstein mit Gipsen		Mergelmergelstein
	Sandstein mit Gipsen		Mergelmergelstein
	Sandstein mit Gipsen		Mergelmergelstein
	Sandstein mit Gipsen		Mergelmergelstein
	Sandstein mit Gipsen		Mergelmergelstein
	Sandstein mit Gipsen		Mergelmergelstein

	Kiese mit Schichten von Sandstein
	Kiese mit Schichten von Sandstein
	Kiese mit Schichten von Sandstein
	Kiese mit Schichten von Sandstein
	Kiese mit Schichten von Sandstein
	Kiese mit Schichten von Sandstein
	Kiese mit Schichten von Sandstein
	Kiese mit Schichten von Sandstein
	Kiese mit Schichten von Sandstein
	Kiese mit Schichten von Sandstein

Brücke von Wimmis (1)

Ebenalp (4)



Zone I      Zone II      Zone III      Zone IV

**Legende zu Tafel XIII:**

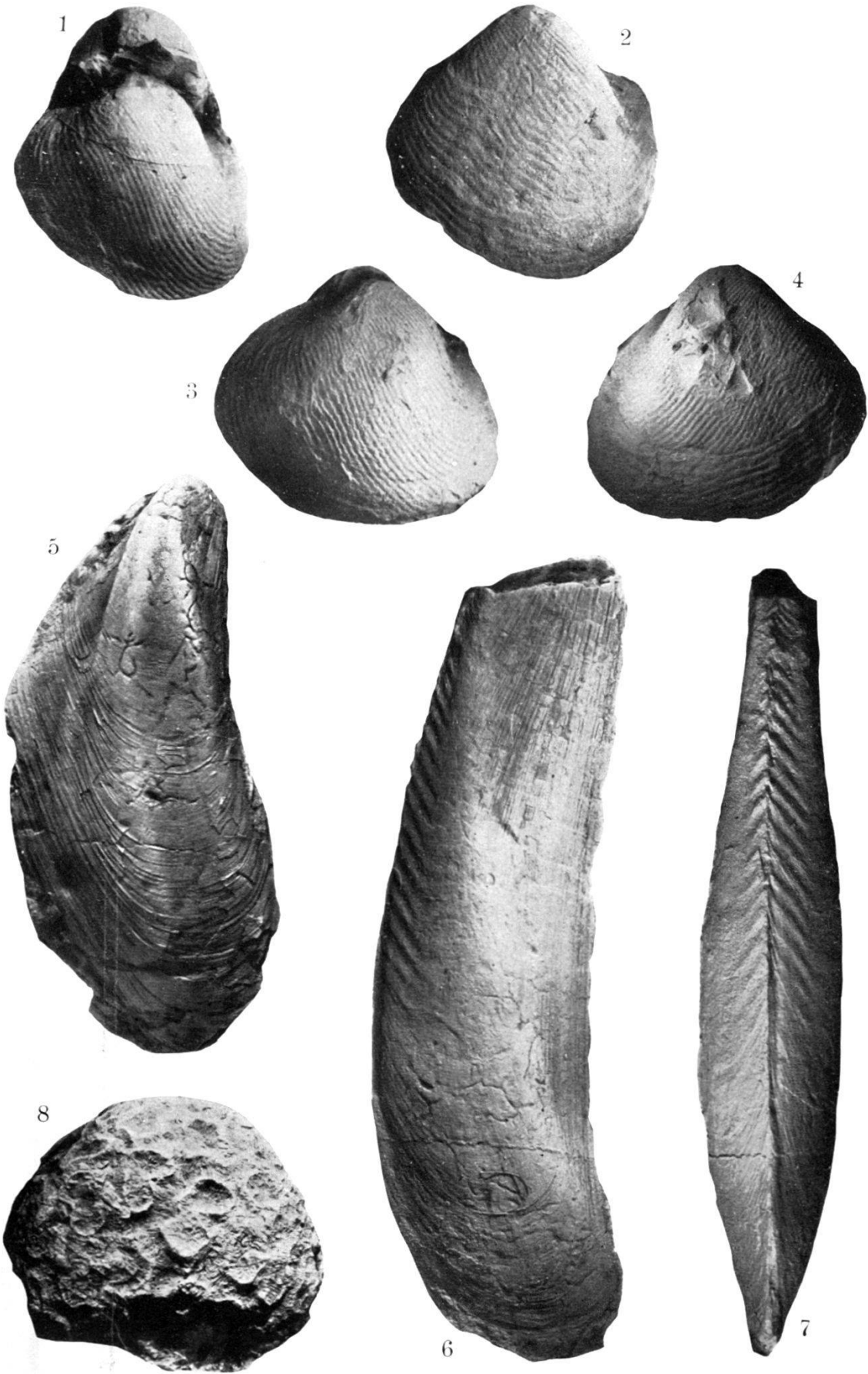
Fig. 1—4: *Ceromya wimmisensis* GILLIÉRON. Nat. Grösse.

Fig. 5: *Mytilus arbenzi* nov. spec. Nat. Grösse.

Fig. 6—7: *Modiola gillieronii* nov. spec. Nat. Grösse.

Fig. 8: *Favia* cf. *caryphylloides* GOLDFUSS. Nat. Grösse.

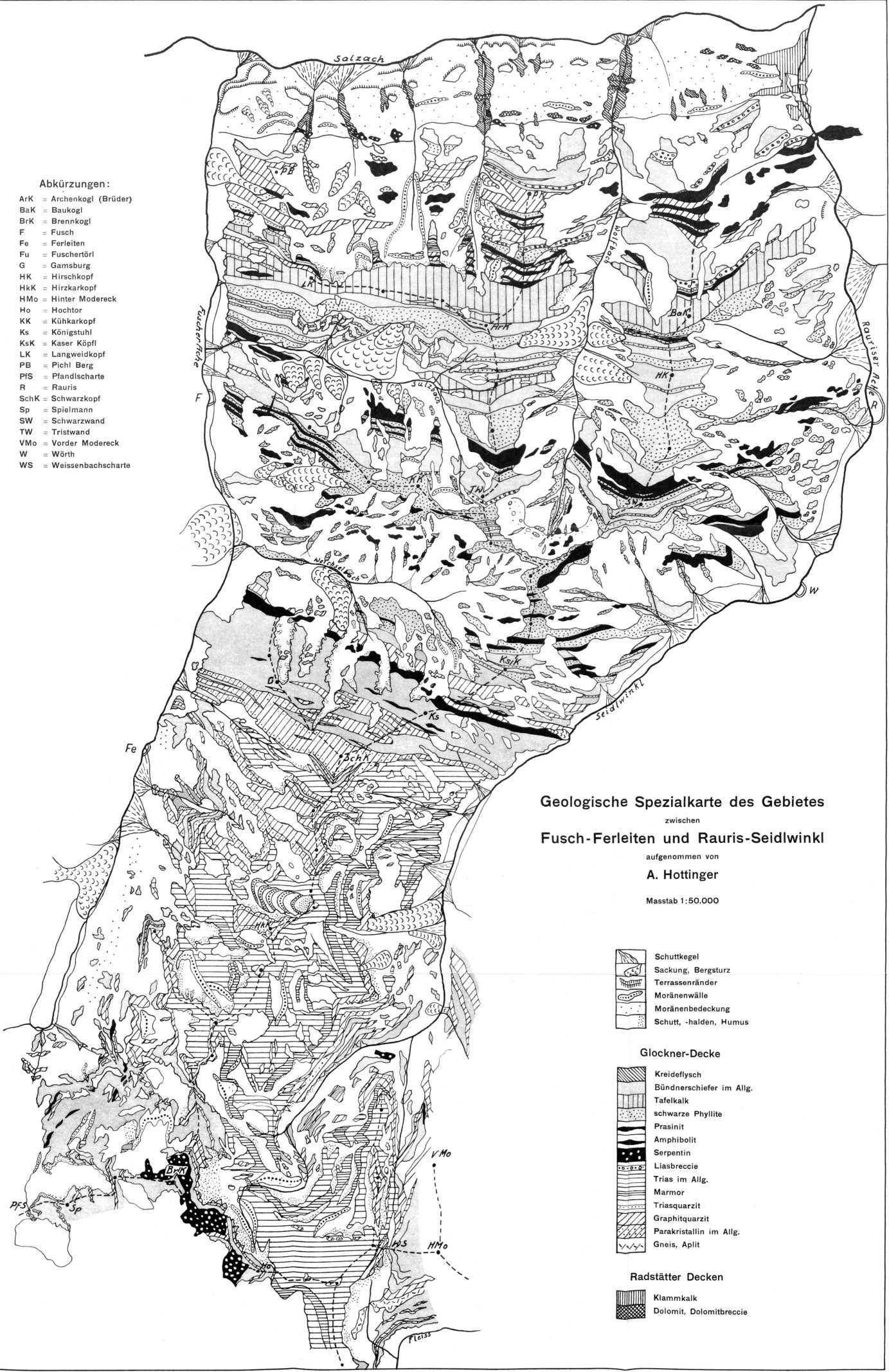
---



W. Leupold phot.

Druck Birkhäuser, Basel.





**Abkürzungen:**

- ArK = Archenkogel (Brüder)
- BaK = Baukogel
- BrK = Brennkogel
- F = Fusch
- Fe = Ferleiten
- Fu = Fuschertörl
- G = Gamsburg
- HK = Hirschkopf
- HkK = Hirzkarkopf
- HMo = Hinter Modereck
- Ho = Hochtor
- KK = Kühkarkopf
- Ks = Königstuhl
- KsK = Kaser Köpfl
- LK = Langweidkopf
- PB = Pichl Berg
- PFS = Pfandscharte
- R = Rauris
- SchK = Schwarzkopf
- Sp = Spielmann
- SW = Schwarzwand
- TW = Tristwand
- VMo = Vorder Modereck
- W = Wörth
- WS = Weissenbachscharte

**Geologische Spezialkarte des Gebietes**  
zwischen  
**Fusch-Ferleiten und Rauris-Seidlwinkl**

aufgenommen von  
**A. Hottinger**

Masstab 1:50.000

- Schuttkegel
- Sackung, Bergsturz
- Terrassenränder
- Moränenwälle
- Moränenbedeckung
- Schutt, -halden, Humus

**Glockner-Decke**

- Kreideflysch
- Bündnerschiefer im Allg.
- Tafelkalk
- schwarze Phyllite
- Prasinit
- Amphibolit
- Serpentin
- Liasbreccie
- Trias im Allg.
- Marmor
- Triasquarzit
- Graphitquarzit
- Parakristallin im Allg.
- Gneis, Aplit

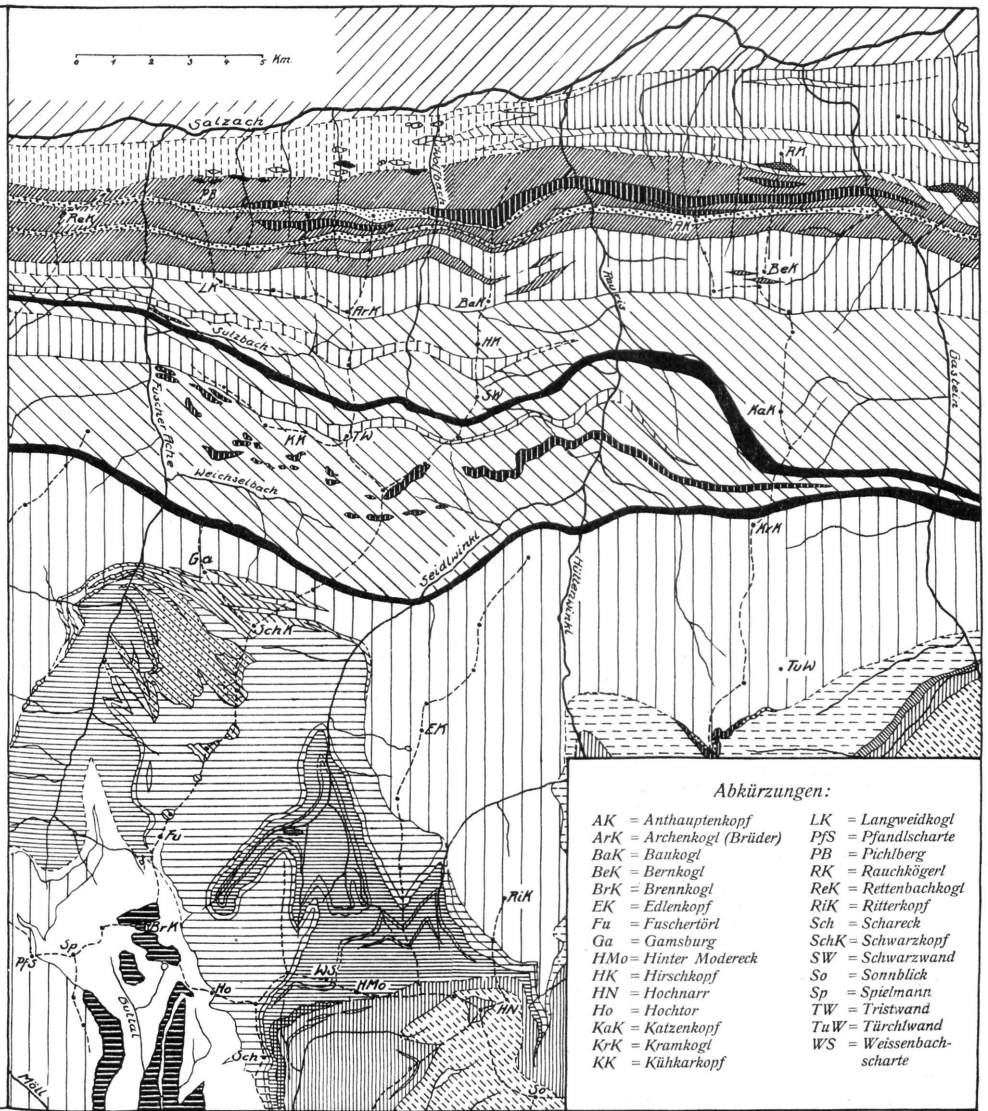
**Radstätter Decken**

- Klammkalk
- Dolomit, Dolomitbreccie

Tektonische Übersicht der Nordseite der östlichen Hohen Tauern

1 : 150.000

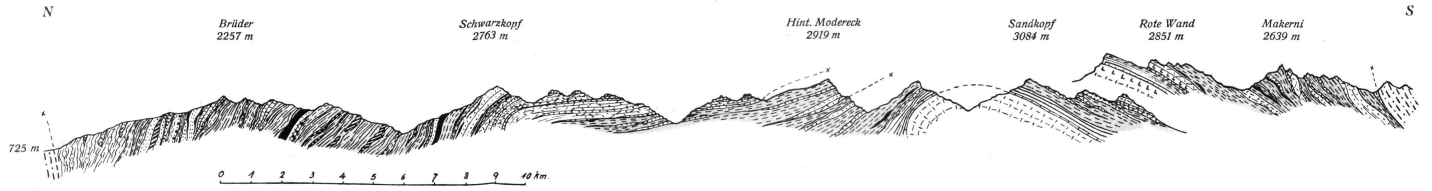
- Pinzgauer Phyllitzone, oberostalpin
- „Flysch“-Zone, penninisch
- Klammkalk
- Kristalline Schiefer } Klammkalk-Zone, unterostalpin
- Trias (Klippe, mittelostalpin)
- Kleinschuppenzone
- Amphibolit
- Quarzitzüge
- Bündnerschieferkalke
- Schuppenzone, phyllitreich (Weichselbach, Sulzbach)
- Prasinitzüge
- Glockner-Mesozoikum (Bündnerschiefer und Ophiolithe)
- Brennkogl - Spielmann - Ferleiten - Serie
- Serpentine
- Schwarzkopf-Serie
- Nördliche Modereck-Decke = Seidlwinkl-Decke
- Schuppenzone des Modereck
- Gneis der roten Wand = Fleiss-Decke
- Schuppenzone der Mandlkarhöhe
- Angertaltrias
- Sonnblick-Schuppen
- Sonnblick-Hochalm-Gneis
- Rückgefaltetes Kristallin im Ferleittental



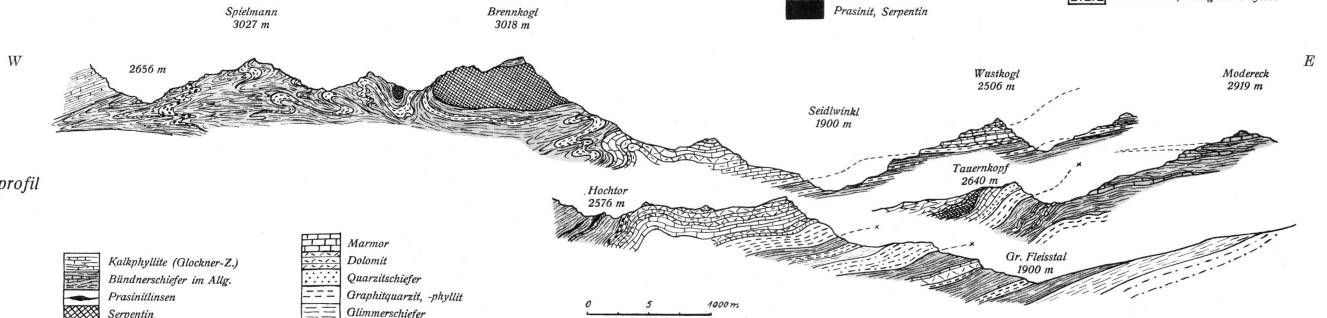
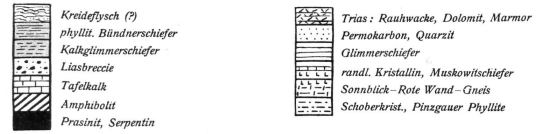
Abkürzungen:

AK = Anthauptenkopf	LK = Langweidkogel
ArK = Archenkogel (Brüder)	PFS = Pfandlscharte
BaK = Baukogel	PB = Pichlberg
Bek = Bernkogel	RK = Rauchkögerl
BrK = Brennkogel	ReK = Rettenbachkogel
EK = Edlenkopf	RiK = Ritterkopf
Fu = Fuschertörl	Sch = Schareck
Ga = Gamsburg	SchK = Schwarzkopf
HM = Hinter Modereck	SW = Schwarzwand
HK = Hürschkopf	So = Sonnblick
HN = Hochnarr	Sp = Spielmann
Ho = Hochtor	TW = Tristwand
KaK = Katzenkopf	TuW = Türchlwand
KrK = Kramkogel	WS = Weissenbachscharte
KK = Küharkopf	

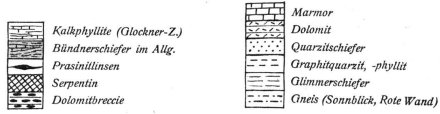
### Profile durch die östlichen Hohen Tauern



Querprofil

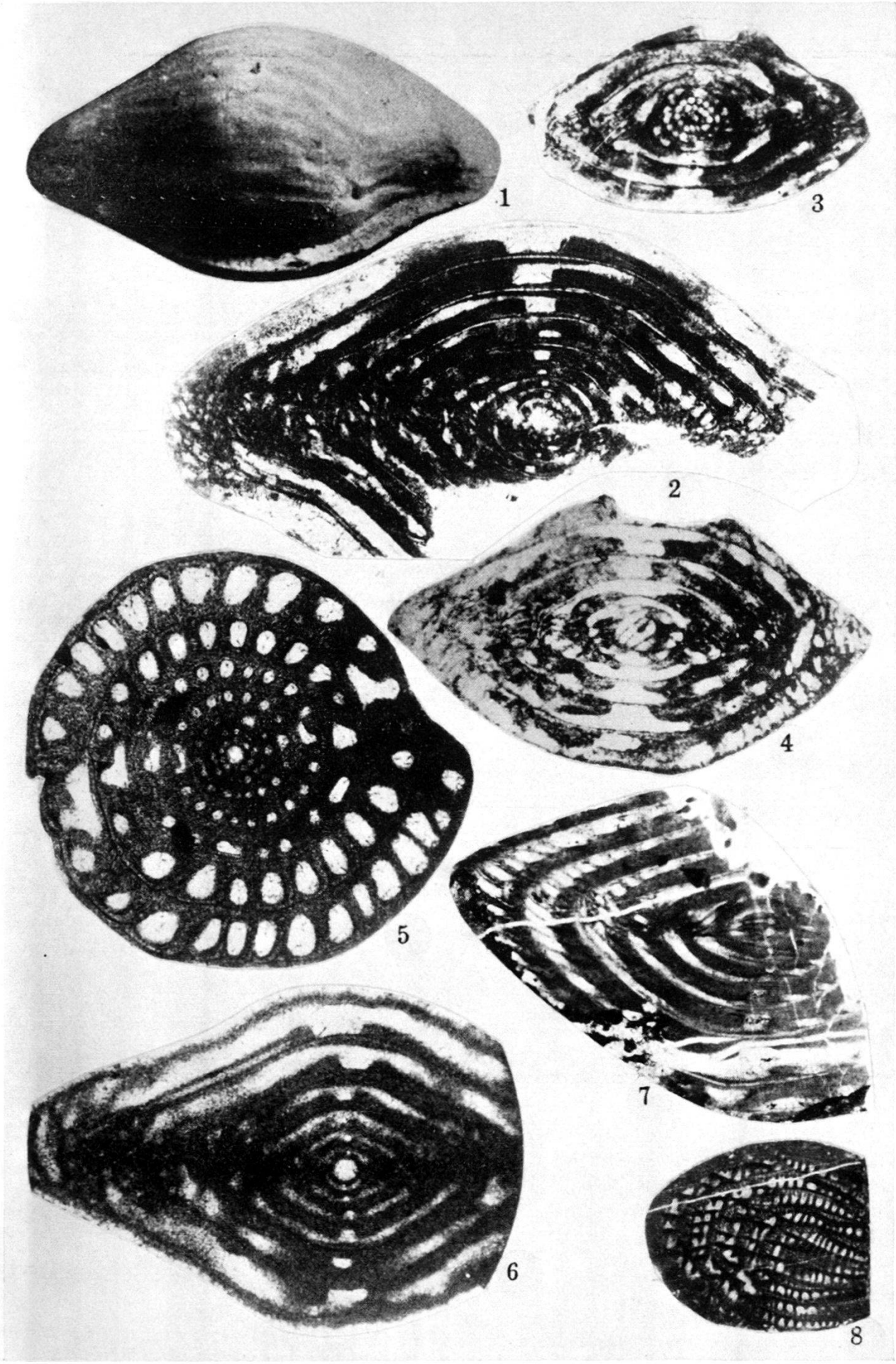


Längsprofil



### Explanation of plate XVII.

- Figs. 1, 2: *Yangchienia tobleri* THOMPSON, n. sp. 1, External view,  $\times 18.5$ ; and 2, axial section,  $\times 27.4$ , from the Sosio beds (Pietra di Salomone) of Sicily. (After A. SILVESTRI.)
- Fig. 7: *Yangchienia tobleri* THOMPSON, n. sp. Slightly tangential axial section,  $\times 30$ , from the Island of Katakupho, Greece.
- Figs. 3, 4: *Yangchienia iniqua* LEE. Axial sections,  $\times 40$ , from the Chihsia limestone, near Nanking, China. (After LEE.)
- Figs. 5, 6: *Yangchienia? itoi* (OZAWA). Sagittal and axial sections,  $\times 45$ , from the Upper Permian near Shiraiwa, Japan. (After OZAWA.)
- Fig. 8: *Sumatrina pesuliensis* OZAWA and TOBLER. Tangential section of a specimen in the same slide with *Yangchienia tobleri*, n. sp.,  $\times 10$ .
-



## Legende zu Tafel XVIII.

I. Fig. 1—11: *Coscinoconus alpinus* n. g., n. sp., pag. 610.

Fig. 1—7, 9—11 von Fundort 5, S Bättenalpburg, Axalpgebiet, östl. Faulhorngruppe.

Fig. 8 von Fundort 1, Urserli, E Axalp, östl. Faulhorngruppe.

Fig. 1. Seitenansicht eines freien Exemplars, 24×.

Fig. 2. Dorsalseite eines freien Exemplars, 24×.

Fig. 3. Ventralseite eines freien Exemplars, Gitterplatte von aussen, etwas angeschliffen, 24×.

Fig. 4. Gitterplatte von innen, durchleuchtet (der Dorsalteil wurde bis auf die Höhe des letzten Umganges der Wendeltreppenplatte weggeschliffen). Die am tiefsten ins Schaleninnere hängenden Draperien zeichnen sich scharf ab, etwas unschärfer das engere Maschenwerk der Oberfläche der Gitterplatte. 24×.

Fig. 5, 6, 7. Vertikalschnitte aus Dünnschliffen der Breccie von Fundort 5; 5 und 7 ziemlich genau axial, 25×.

Fig. 8. Vertikalschnitt aus Dünnschliff der Breccie von Fundort 1, 25×.

Fig. 9. Schnitt entlang der Oberfläche der Gitterplatte, parallel der Ventralseite, vergrössert aus Dünnschliffbild Fig. 11, etwas links über der Mitte, 66×.

Fig. 10. Ein Schnitt durch die tieferen Teile der Gitterplatte, ausserdem zwei schiefe, dem Kegelmantel entlang streifende Schnitte, 25×.

Fig. 11. Dünnschliff der Mikrobreccie von Fundort 5 mit zahlreichen *C. alpinus* (links Millimetermasstab), 7,5×.

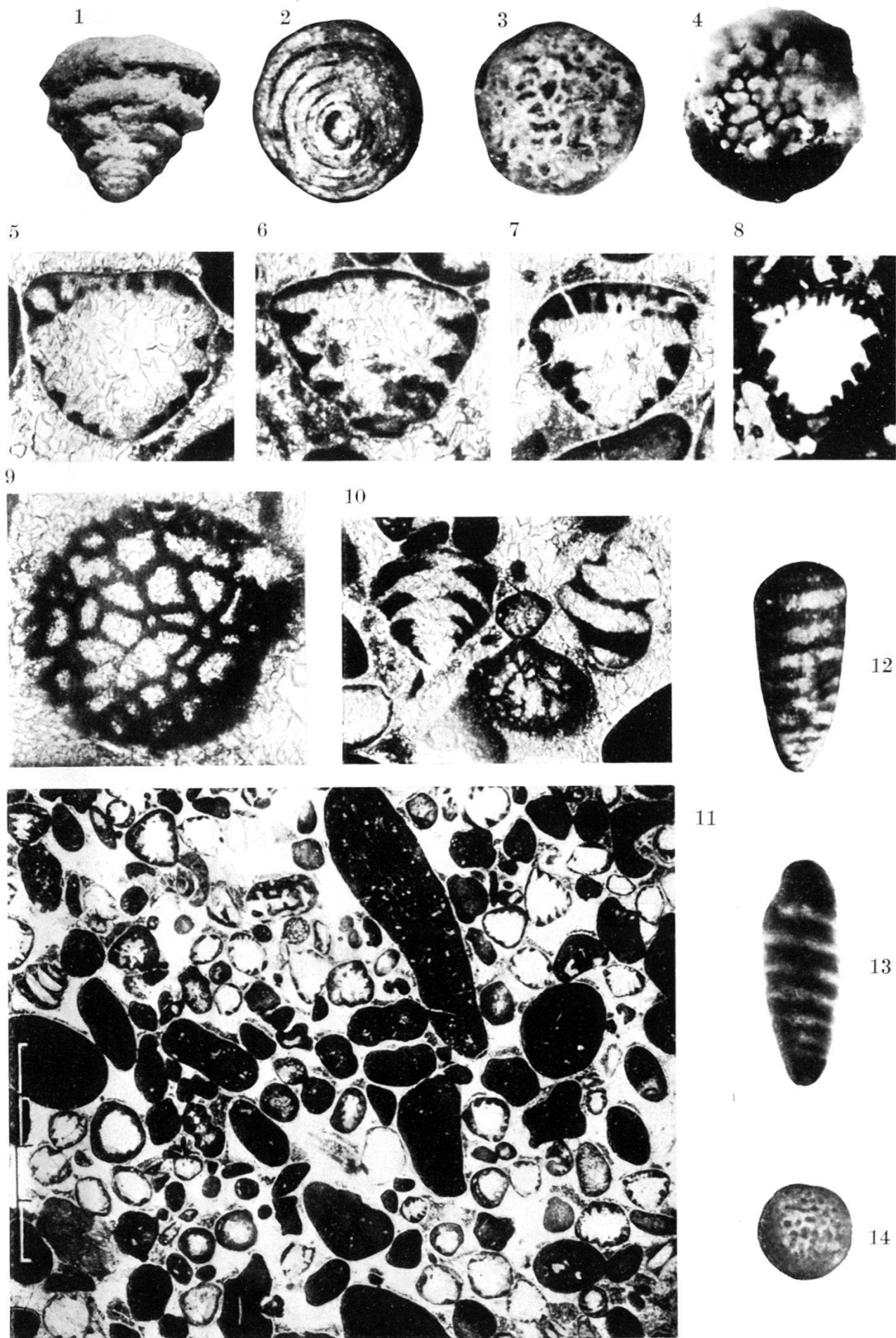
II. Fig. 12—14: *Coscinoconus elongatus*. n. g., n. sp., pag. 617.

Fundort: Berriasmergel, Veveyse de Châtel bei Châtel St-Denis, Préalpes externes.

Fig. 12. Seitenansicht von aussen, Balsampräparat 46×.

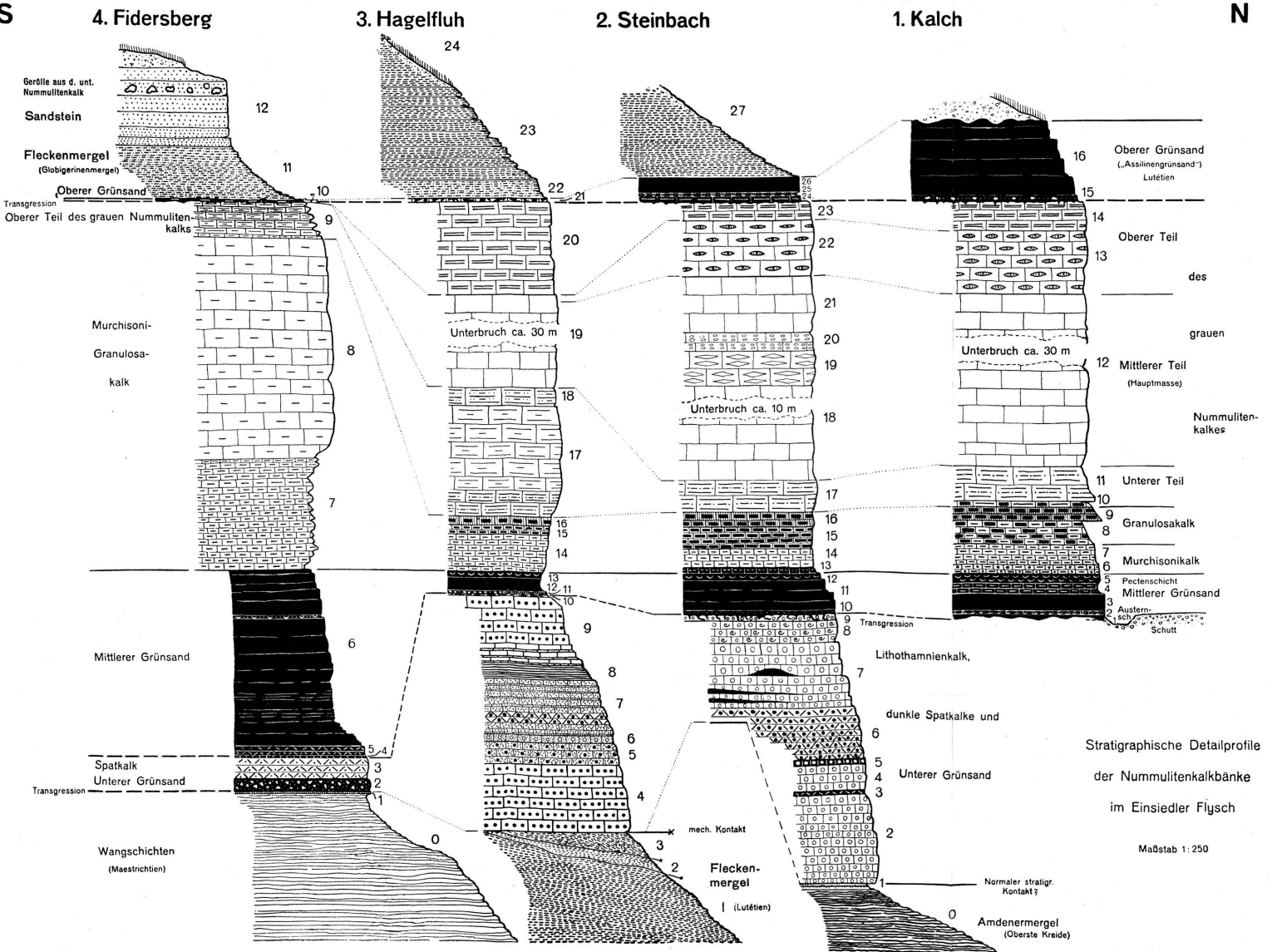
Fig. 13. Parallel der Axe angeschliffenes Exemplar, durchleuchtet, 25×.

Fig. 14. Ventralseite, Gitterplatte von aussen, 46×.



S

N





# Coupes géologiques du Bassin de la Haute-Sihl

## de la Haute-Sihl

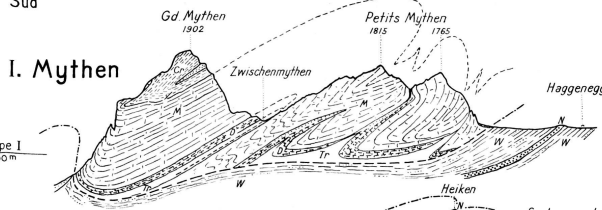
par A. Jeannet.

Avec utilisation des documents publiés par Albert Heim (Mythen), J. Oberholzer et E.C. Quereau.

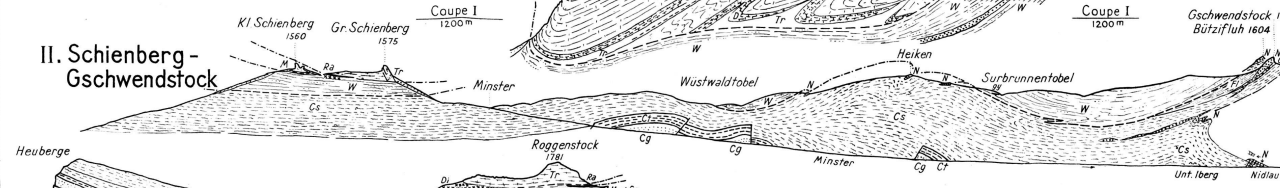
Sud

Nord

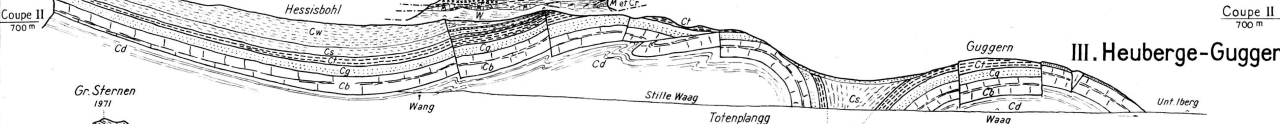
### I. Mythen



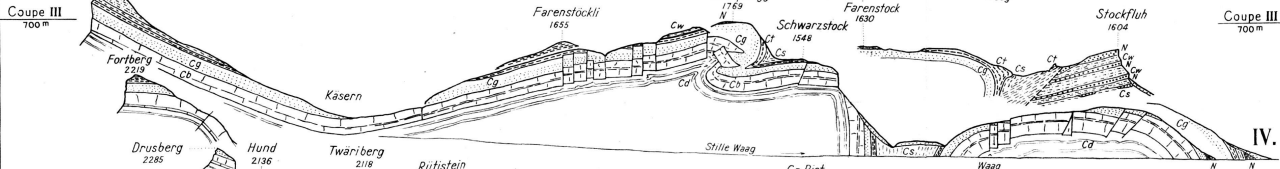
### II. Schienberg-Gschwendstock



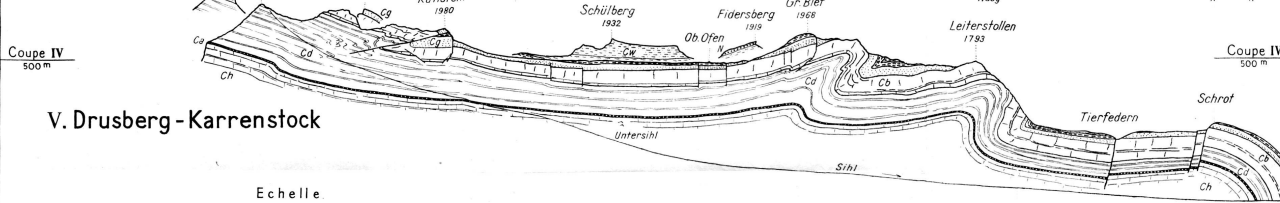
### III. Heuberger-Guggern



### IV. Sternen-Stockfluh

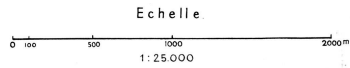


### V. Drusberg-Karrenstock



#### Légende

- Aluviens
- Eboulis morainés
- Nappes des Klippes
- Limbeaux supérieurs
- Calcaire dolomique (Trias)
- Diabase, etc.
- Radiolarite, calc. clairs, etc. (Nappe de la Simme)
- Nappe des Préalpes médianes
- Flisch
- Niveau gris supérieur
- Couches rouges
- Malm
- Dogger
- Brièche de Ramsis (Petits Mythen)
- Trias
- Niveau à plantes (Zwischenmythen)
- Limbeaux ultrahelvétiques
- Wildflisch (souvent blocs exotiques)
- Nappe helvétique supérieure
- Nappe du Drusberg
- Flisch
- Nummulitique
- Couches de Wang
- Marnes supracrétaées
- Couches de Seewen
- Alben
- Gault
- Gargasien
- Schraffenkalk (à Ostholzer)
- Couches du Drusberg
- Couches d'Altmann
- Calcaires siliceux (Hautervien)
- Bedoulien
- Sarrémien
- Plan de chevauchement



Coupe I 1200 m    Coupe II 700 m    Coupe III 700 m    Coupe IV 500 m    Coupe V 700 m

A. Jeannet, vol. VII 1935.

PHOTODUPLICATION PAR D. BAZEL